

# Отделение радия от щелочно-земельных и актиноидных элементов на анионите в водно-метанольных растворах $\text{HNO}_3$ . Генератор $^{227}\text{Ac}$ – $^{223}\text{Ra}$

© Л. И. Гусева, Г. С. Тихомирова, Н. Н. Догадкин

*Институт геохимии и аналитической химии им. В. И. Вернадского РАН, Москва*

Получено 19.12.2002, в окончательной редакции 02.07.2003

УДК 546.797:546.432

Определены коэффициенты распределения Ra, некоторых щелочно-земельных (Ca, Sr) и актиноидных (U, Th) элементов между сильноосновным анионитом Dowex-1×8 и водно-метанольными растворами  $\text{HNO}_3$  в зависимости от содержания различных компонентов в растворе. Найдены оптимальные условия концентрирования Ra с последующим отделением его от сопутствующих элементов методом градиентного элюирования на одной анионообменной колонке. Показана возможность выделения Ra из растворов с высоким содержанием щелочно-земельных элементов, в частности с концентрацией Ca = 10 мг/мл. Разработан простой и эффективный способ многостороннего периодического получения изотопа  $^{223}\text{Ra}$  ( $T_{1/2} = 11.4$  сут) из материнского радионуклида  $^{227}\text{Ac}$  ( $T_{1/2} = 21.8$  лет) по принципу работы изотопного генератора в течение длительного времени.

Определение содержания Ra является одной из основных задач, возникающих в процессе переработки урановых руд и ториевых минералов, а также при анализе объектов окружающей среды. При радиохимическом выделении Ra основные трудности связаны с отделением ультрамальных количеств Ra от макроличеств матричных элементов, главным образом сопутствующих щелочно-земельных элементов, которые часто используются также в качестве носителей в аналитической практике. Содержание некоторых щелочно-земельных элементов (Mg, Ca) в водных резервуарах может составлять несколько г/л. При определении различных изотопов Ra в природных объектах необходимо проводить их отделение от материнских радионуклидов (U, Th, Ac), поскольку в случае попадания этих радионуклидов в процессе химической переработки в радиевую фракцию при радиометрических измерениях может наблюдаться накопление активности Ra во времени.

Для выделения Ra и его отделения от сопутствующих элементов используется совокупность различных методов, включающих осаждение, экстракцию, ионный обмен, экстракционную хроматографию [1–7], что приводит к неизбежным потерям ультрамальных количеств Ra. Ионообменные методы применяются обычно на заключительных стадиях выделения Ra. Катиониты используются главным образом для отделения Ra от Ac и щелочно-земельных элементов. При этом в качестве элюентов применяют растворы 1.5–2.5 моль/л HCl и  $\text{HNO}_3$  или сильных комплексообразующих лигандов (ЭДТА,  $\text{H}_2\text{C}_2\text{O}_4$  и др.) [1, 3–6, 8, 9]. Анионный обмен обычно используют для отделения Ra от U и Th с применением концентрированных растворов HCl и  $\text{HNO}_3$  соответственно [2, 4–6].

При выделении микроколичеств элементов из растворов с высоким содержанием солей применение анионитов является более предпочтительным по сравнению с катионитами. Для выделения и отделения Ra от щелочно-земельных и актиноидных элементов весьма перспективным представляется использование анионитов и смешанных водно-органических растворов  $\text{HNO}_3$ , поскольку такие системы позволяют проводить как концентрирование, так и разделение многих элементов на одной колонке [10, 11]. Детальных исследований по сорбции Ra на анионитах из смешанных азотнокислых растворов не проводилось. В работе [12] растворы 0.5 моль/л  $\text{HNO}_3$ , содержащие 65%  $\text{CH}_3\text{OH}$ , использовали в качестве элюента для отделения Ra и Ac от Th на анионите Dowex-1. Ямamoto и др. [6] использовали анионообменную колонку для концентрирования Ra из водно-метанольных растворов  $\text{HNO}_3$ . Однако отделение Ra от Th осуществлялось раствором 8 моль/л  $\text{HNO}_3$ . При этом в радиевую фракцию попадали другие актиноидные и щелочно-земельные элементы. Дальнейшую очистку Ra от щелочно-земельных элементов проводили на катионообменной колонке с использованием циклогександиаминтетрауксусной кислоты в качестве элюента. В работах [13, 14] водно-органические растворы  $\text{HNO}_3$  были использованы для разделения Mg, Ca и Sr на анионообменной смоле Amberlite XN-1002. В этой связи изучение закономерностей поведения Ra и щелочно-земельных элементов в идентичных условиях также представляет интерес.

В настоящей работе с целью нахождения условий для концентрирования и отделения Ra от сопутствующих элементов детально исследовано поведение Ra, U, Th, Ca и Sr на сильноосновном анионите Dowex-1×8 в водно-метанольных растворах  $\text{HNO}_3$  в зависимости от концентрации кис-

лоты и спирта в растворе. Исследовано влияние макропод количества Са на сорбцию и выделение Ra из таких растворов. Разработан также способ много-кратного получения короткоживущего изотопа  $^{223}\text{Ra}$  ( $T_{1/2} = 11.4$  сут), используемого в настоящих исследованиях, из природного радионуклида  $^{227}\text{Ac}$  ( $T_{1/2} = 21.8$  лет) по принципу работы изотопного генератора на основе анионита и водно-метанольных растворов  $\text{HNO}_3$ .

### Экспериментальная часть

**Реактивы, радионуклиды.** В работе использовали концентрированную  $\text{HNO}_3$  марки х.ч.,  $\text{CaCO}_3$ , метанол марки ч. и сильноосновной анионит Dowex-1  $\times$  8 зернением 200–400 меш. Водно-метанольные растворы  $\text{HNO}_3$  определенного состава готовили путем разбавления кислоты би-дистиллятом и добавления соответствующего количества  $\text{CH}_3\text{OH}$  по объему.

Исходные растворы радионуклидов:  $^{223}\text{Ra}$ ,  $^{227}\text{Ac}$ ,  $^{227,230}\text{Th}$ ,  $^{233}\text{U}$ ,  $^{47}\text{Ca}$  и  $^{89,90}\text{Sr}$  были приготовлены в 0.5–1 моль/л  $\text{HNO}_3$ . Изотоп  $^{223}\text{Ra}$  периодически выделяли из  $^{227}\text{Ac}$  по методике, разработанной в настоящей работе и описанной ниже. Изотоп  $^{47}\text{Ca}$  был получен при облучении 10 мг  $\text{CaCO}_3$  в ядерном реакторе. Облученный образец растворяли в 1 моль/л  $\text{HNO}_3$  и из раствора отбирали аликвоту для экспериментов.

**Определение исследуемых радионуклидов** производили по их  $\gamma$ -излучению непосредственно в растворах на  $\gamma$ -автомате «Тесла». При совместном присутствии радионуклидов их идентификацию проводили по энергиям  $\gamma$ -излучения с использованием Ge(Li) детектора, соединенного с многоканальным анализатором NUC-810 (Merion-X Ltd, Венгрия). В некоторых случаях радиохимическую чистоту короткоживущего изотопа  $^{223}\text{Ra}$  ( $T_{1/2} = 11.4$  сут), полученного с генератора, контролировали путем измерения активности образца во времени.

**Коэффициенты распределения** элементов определяли в статических и динамических условиях по общепринятым методикам. В работе использовали колонки из стекла размером  $(0.4 - 0.6) \times (6 - 11)$  см, которые заполняли смолой и перед использованием промывали раствором исследуемого состава.

**Разделение элементов** на анионообменных колонках в найденных оптимальных условиях производили следующим образом. Раствор (0.5–1 мл) 1 моль/л  $\text{HNO}_3$ –90%  $\text{CH}_3\text{OH}$ , содержащий исследуемые радионуклиды, пропускали через колонку размером  $0.4 \times 6$  см с анионитом Dowex-1  $\times$  8. После прохождения сорбата колонку промывали сначала раствором 0.7 моль/л  $\text{HNO}_3$ –90%  $\text{CH}_3\text{OH}$ , а затем 0.5 моль/л  $\text{HNO}_3$ –80%  $\text{CH}_3\text{OH}$ . Десорб-

цию радионуклидов, оставшихся на колонке, осуществляли раствором 0.2–0.5 моль/л  $\text{HNO}_3$  без спирта. Элюат собирали порциями по 2 мл и анализировали на содержание радионуклидов.

В экспериментах по выделению  $^{223}\text{Ra}$  в присутствии макропод количества  $\text{CaCO}_3$  навеску  $\text{CaCO}_3$  растворяли в минимальном объеме 7 моль/л  $\text{HNO}_3$  и раствор разбавляли метанолом в соотношении 1 : 10. Полученный раствор, в который были добавлены аликвоты  $^{47}\text{Ca}$  и  $^{223}\text{Ra}$ , пропускали через анионообменную колонку размером  $0.6 \times 11$  см. После прохождения карбонатного раствора и промывания колонки чистой порцией 0.7 моль/л  $\text{HNO}_3$ –90%  $\text{CH}_3\text{OH}$  Ra десорбировали со смолы 0.5 моль/л  $\text{HNO}_3$ . Каждую фракцию анализировали на содержание  $^{47}\text{Ca}$  и  $^{223}\text{Ra}$ . Наличие Са в радиевой фракции проверяли также визуально, по реакции с  $\text{H}_2\text{C}_2\text{O}_4$  и по осадку, оставшемуся после выпаривания раствора. В идентичных условиях были проведены эксперименты по отделению Ra от макропод количества Са без добавления радионуклидов. В этих экспериментах содержание Са в различных фракциях определяли атомно-эмиссионным методом с индуктивно-связанной плазмой (ICPI).<sup>1</sup>

### Результаты и обсуждение

В предварительных экспериментах было установлено, что Ra, как и другие исследуемые элементы, практически не сорбируется анионитом из водных растворов  $\text{HNO}_3$  с концентрацией  $\text{HNO}_3 \leq 2$  моль/л.

**Влияние концентрации  $\text{HNO}_3$  в растворах, содержащих 90%  $\text{CH}_3\text{OH}$ , на коэффициенты распределения Ra, Ca, Sr, U и Th при их сорбции на анионите Dowex-1  $\times$  8 показано на рис. 1, а. На рис. 1, б показана зависимость коэффициентов распределения этих элементов от содержания метанола в растворах 0.5 моль/л  $\text{HNO}_3$ . Из-за трудности идентификации изотопа  $^{227}\text{Ac}$  (мягкое  $\beta$ -излучение) мы не определяли коэффициенты распределения Ac. На рис. 1 даны значения коэффициентов распределения Ac, полученные в аналогичных условиях с использованием изотопа  $^{228}\text{Ac}$  в работе [15].**

Из представленных данных видно, что сорбция элементов увеличивается с увеличением концентрации кислоты и содержания спирта в растворе. Причем коэффициенты распределения резко возрастают в растворах  $\text{HNO}_3$ , содержащих  $\geq 80\%$   $\text{CH}_3\text{OH}$ . Значения коэффициентов распределения Ra, Ac и Th в растворах с концентрацией  $\text{HNO}_3 > 0.5$  моль/л, содержащих  $\geq 90\%$   $\text{CH}_3\text{OH}$ , состав-

<sup>1</sup> Определение содержания Са методом ICPI проводили в Центральной аналитической лаборатории ГЕОХИ РАН.

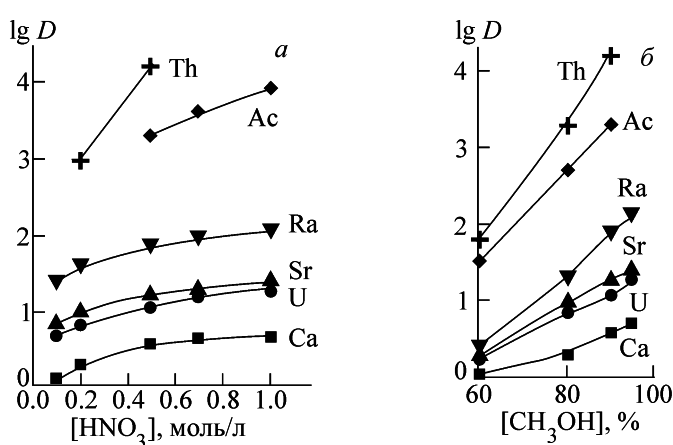


Рис. 1. Влияние концентрации  $\text{HNO}_3$  в растворах, содержащих 90%  $\text{CH}_3\text{OH}$  (а), и влияние содержания метанола в растворах 0.5 моль/л  $\text{HNO}_3$  (б) на коэффициенты распределения Ca, U, Sr, Ra, Ac и Th при их сорбции на анионите Dowex-1 × 8.

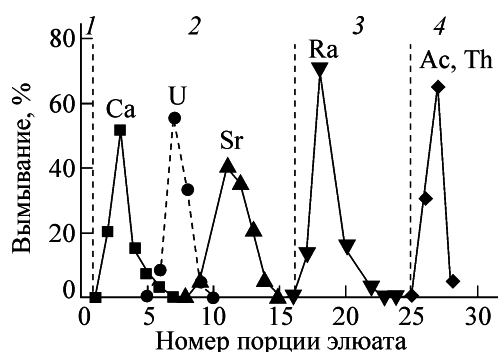


Рис. 2. Градиентное элюирование щелочно-земельных и актиноидных элементов с анионообменной колонки размером 0.4 × 6 см водно-метанольными растворами  $\text{HNO}_3$ . 1 – 1 моль/л  $\text{HNO}_3$ –90%  $\text{CH}_3\text{OH}$ , 2 – 0.7 моль/л  $\text{HNO}_3$ –90%  $\text{CH}_3\text{OH}$ , 3 – 0.5 моль/л  $\text{HNO}_3$ –80%  $\text{CH}_3\text{OH}$ , 4 – 0.5 моль/л  $\text{HNO}_3$ .

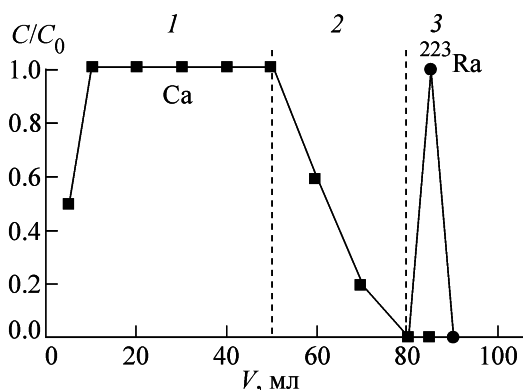


Рис. 3. Отделение  $^{223}\text{Ra}$  от макроколичеств Ca на анионообменной колонке размером 0.4 × 7 см. 1 – 0.7 моль/л  $\text{HNO}_3$ –90%  $\text{CH}_3\text{OH}$  + Ca (10 мг/мл) +  $^{223}\text{Ra}$ , 2 – 0.7 моль/л  $\text{HNO}_3$ –90%  $\text{CH}_3\text{OH}$ , 3 – 0.5 моль/л  $\text{HNO}_3$ .  $C/C_0$  – отношение концентраций Ca (Ra) в элюате и исходном растворе,  $V$  – объем раствора.

ляют  $>10^2$ – $10^4$ . Очевидно, из таких растворов можно осуществлять концентрирование этих элементов на небольших анионообменных колонках из больших объемов раствора. В ряду щелочно-земельных элементов сорбция увеличивается с увеличением ионных или уменьшением гидратированных радиусов, т.е. в последовательности  $\text{Mg} < \text{Ca} < \text{Sr} < (\text{Ba}) < \text{Ra}$ . Уран в таких системах присутствует, по-видимому, в виде  $\text{UO}_2^{2+}$ , и его поведение близко к поведению  $\text{Sr}^{2+}$ .

Наблюдается существенная разница в значениях коэффициентов распределения исследуемых элементов, которая позволяет проводить их разделение с использованием в качестве элюентов растворов с меньшим содержанием кислоты или спирта.

**Разделение Ca, Sr, Ra и их отделение от Ac–Th** на анионообменной колонке с использованием градиентного элюирования смешанными растворами  $\text{HNO}_3$  различного состава показано на рис. 2. Ca вымывается в первых порциях элюата и хорошо отделяется от Sr раствором 0.7 моль/л  $\text{HNO}_3$ –90%  $\text{CH}_3\text{OH}$ . В соответствии с найденными закономерностями Mg в этих условиях должен вымываться раньше Ca, а Ba – после Sr. Ra в растворе 0.7 моль/л  $\text{HNO}_3$ –90%  $\text{CH}_3\text{OH}$ очно удерживается на колонке, но полностью вымывается раствором 0.5 моль/л  $\text{HNO}_3$ –80%  $\text{CH}_3\text{OH}$ , в то время как Th и Ac остаются сорбированными. Десорбцию этих радионуклидов осуществляли небольшим объемом 0.5 моль/л  $\text{HNO}_3$  без спирта. На рис. 2 пунктирной линией показана кривая элюирования U, полученная на той же колонке в идентичных условиях. Из представленных данных следует, что концентрирование и отделение Ra от сопутствующих элементов можно проводить на одной анионообменной колонке с использованием водно-метанольных растворов  $\text{HNO}_3$  различного состава.

Как указывалось выше, при выделении Ra из образцов природного происхождения, в частности водных водоемов и морских отложений, необходимо проводить отделение микроколичеств Ra от макроколичеств карбонатов щелочно-земельных элементов. В наших более ранних исследованиях было показано, что сорбция актиноидных элементов на анионите из водно-спиртовых растворов  $\text{HNO}_3$  увеличивается в присутствии макроколичеств нитратов щелочных и щелочно-земельных элементов [16]. В настоящей работе была исследована сорбция Ra на анионите из водно-метанольных азотнокислых растворов в присутствии больших количеств Ca, которые получались при растворении  $\text{CaCO}_3$  в  $\text{HNO}_3$  и последующего разбавления  $\text{CH}_3\text{OH}$ .

Выделение индикаторных количеств  $^{223}\text{Ra}$  из раствора 0.7 моль/л  $\text{HNO}_3$ –90%  $\text{CH}_3\text{OH}$ , содержащего Ca с концентрацией 10 мг/мл, показано на рис. 3. При пропускании такого раствора через

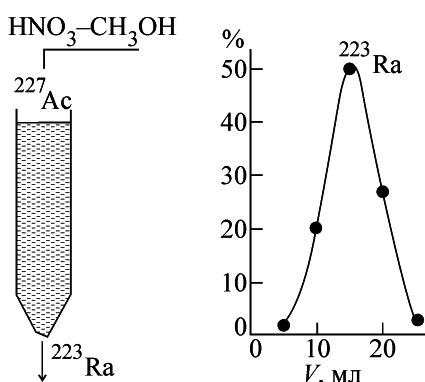


Рис. 4. Схема генератора и кривая вымывания  $^{223}\text{Ra}$  раствором 0.7 моль/л  $\text{HNO}_3$ –80%  $\text{CH}_3\text{OH}$ .

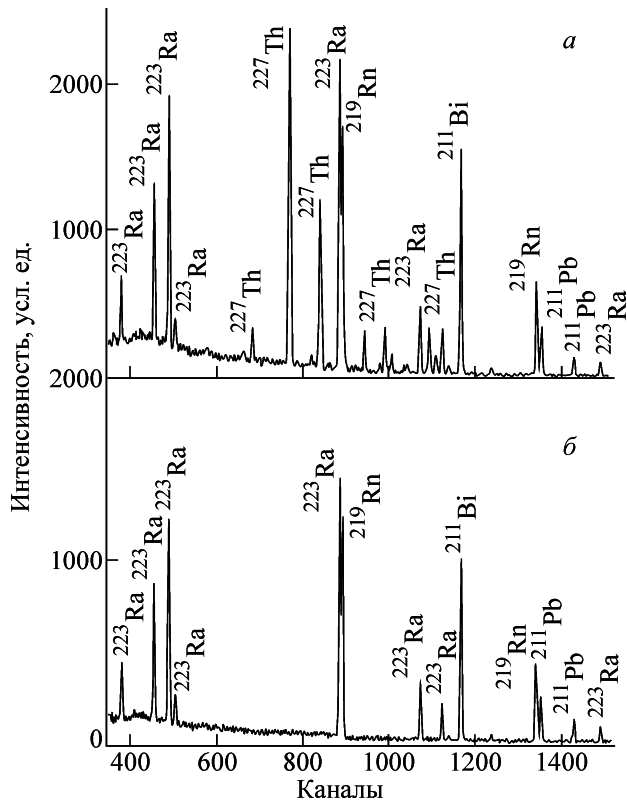


Рис. 5. Г-спектры  $^{227}\text{Ac}$ , сорбированного на анионообменной колонке размером  $0.6 \times 11$  см (а), и элюата 0.7 моль/л  $\text{HNO}_3$ –80%  $\text{CH}_3\text{OH}$ , полученного с генератора после 24 мес его использования (б).

анионообменную колонку Са все время проходил в раствор, в то время как Ra оставался сорбированным на колонке. Во фракции, содержащей Са, и промывном растворе  $^{223}\text{Ra}$  не обнаружен. Ra полностью вымывался с колонки небольшим объемом 0.5 моль/л  $\text{HNO}_3$ . Содержание Са в радиевой фракции составляло  $\leq 0.5\%$  от исходного. Очевидно, что в выбранных условиях Ra еще лучше будет отделяться от макроколичеств Mg, но несколько хуже от Sr и тем более Ba. Представленные данные, таким образом, показывают, что при использовании анионитов и водно-спир-

товых растворов  $\text{HNO}_3$  выделение изотопов Ra можно проводить из высококонцентрированных солевых растворов и без добавления носителя.

**Генератор  $^{227}\text{Ac}$ – $^{223}\text{Ra}$ .** Изотоп  $^{223}\text{Ra}$  является членом основной ветви цепочки радиоактивного распада семейства актиния ... $^{227}\text{Ac}$  ( $\beta$ , 21.8 лет)  $\rightarrow$   $^{227}\text{Th}$  ( $\alpha$ , 18.7 сут)  $\rightarrow$   $^{223}\text{Ra}$  ( $\alpha$ , 11.4 сут)  $\rightarrow$   $^{219}\text{Rn}$  ( $\alpha$ , 3.9 с)  $\rightarrow$   $^{215}\text{Po}$  ( $\alpha$ , 1.8 мс)  $\rightarrow$   $^{211}\text{Pb}$  ( $\beta$ , 36.1 мин)  $\rightarrow$   $^{211}\text{Bi}$  ( $\alpha$ , 2.1 мин)  $\rightarrow$   $^{207}\text{Tl}$  ( $\beta$ , 1.3 с и 4.8 мин)  $\rightarrow$   $^{207}\text{Pb}$  (стаб.).

Из данных, представленных на рис. 1 и 2, видно, что в азотнокислых растворах, содержащих  $\geq 80\%$   $\text{CH}_3\text{OH}$ , коэффициенты распределения Ac и Th на два порядка и более превышают коэффициенты распределения Ra. Этот факт дает возможность проводить многократное отделение  $^{223}\text{Ra}$  от его материнских радионуклидов  $^{227}\text{Ac}$  и  $^{227}\text{Th}$  по принципу работы изотопного генератора. С этой целью  $^{227}\text{Ac}$  с суммарной активностью 1.5 МБк/мл сорбировали на колонку размером  $0.4 \times 7$  см, заполненную анионитом Dowex-1 x 8, из небольшого объема раствора 1 моль/л  $\text{HNO}_3$ –90%  $\text{CH}_3\text{OH}$ . Далее производили многократное вымывание  $^{223}\text{Ra}$  растворами 0.5–0.7 моль/л  $\text{HNO}_3$ –80%  $\text{CH}_3\text{OH}$ . Схема генератора и выходная кривая вымывания  $^{223}\text{Ra}$  раствором 0.7 моль/л  $\text{HNO}_3$ –80%  $\text{CH}_3\text{OH}$  показаны на рис. 4. Выход  $^{223}\text{Ra}$  составляет  $\geq 90\%$  от равновесного с  $^{227}\text{Ac}$ . Полное равновесие достигается в течение нескольких недель, однако вымывание Ra можно проводить и через более короткие промежутки времени по мере необходимости. Количество  $^{223}\text{Ra}$  при одноразовом выделении с данного генератора было достаточным для проведения работ с этим радионуклидом в течение месяца. Определение Ra осуществляли непосредственно в растворе путем измерения суммарного  $\gamma$ -излучения  $^{223}\text{Ra}$  и его дочерних короткоживущих радионуклидов  $^{219}\text{Rn}$ ,  $^{211}\text{Pb}$  и  $^{211}\text{Bi}$  или по собственному  $\gamma$ -излучению  $^{223}\text{Ra}$  ( $E_\gamma = 269.4$ , 154.1 и 144 кэВ). На рис. 5, а показан  $\gamma$ -спектр  $^{227}\text{Ac}$ , сорбированного на анионообменную колонку, а на рис. 5, б –  $\gamma$ -спектр элюата 0.7 моль/л  $\text{HNO}_3$ –80%  $\text{CH}_3\text{OH}$ , полученного с генератора после его использования в течение 24 мес. Из представленных данных видно, что в элюате присутствуют только  $^{223}\text{Ra}$  и его продукты распада. Отсутствие  $^{227}\text{Th}$  ( $E_\gamma = 235$ , 255, 286, 329 кэВ) в элюате свидетельствует о том, что  $^{227}\text{Ac}$  также прочно удерживался на анионите в течение длительного использования генератора.

Разработанный генератор может применяться для получения  $^{223}\text{Ra}$  с целью его использования в радиохимических исследованиях, изучения поведения Ra в различных системах, а также применения короткоживущего изотопа  $^{223}\text{Ra}$  в качестве

трейсера при определении долгоживущих изотопов  $^{226}\text{Ra}$  и  $^{228}\text{Ra}$ , например в урановых или ториевых образцах. Из водно-метанольных растворов Ra легко переводится в любую другую форму путем легкого выпаривания и растворения остатка в исследуемом растворе. При выпаривании азотокислых метанольных растворов не остается солевого остатка, что позволяет проводить определение Ra также по  $\alpha$ -активности без дополнительной очистки от реагента.

Авторы выражают благодарность зав. сектором атомно-абсорбционных методов анализа, кандидату химических наук Э. М. Седых и младшему научному сотруднику Е. Н. Беляковой (ЦАЛ, ГЕОХИ) за работу по определению содержания Ca и других неактивных примесей в различных растворах методом ICPI.

### Список литературы

- [1] Koid M., Bruland R. W. // Anal. Chim. Acta. 1975. Vol. 75, N 1. P. 1-19.
- [2] Krishnaswami S., Sarin M. M. // Anal. Chim. Acta. 1976. Vol. 83, N 1. P. 143-156.
- [3] Ioshi L. U., Padmanbhan P. K. // J. Radioanal. Chem. 1983. Vol. 76, N 1. P. 73-79.
- [4] Noyce J. R., Hutchinson J. M. R., Kolb W. A. // J. Radioanal. Chem. 1983. Vol. 79, N 1. P. 5-13.
- [5] Smith K. E., Mercer E. R. // J. Radioanal. Chem. 1970. Vol. 5, N 2. P. 303-312.
- [6] Yamamoto M., Kawamura H., Igarashi Y. et al. // Radiochim. Acta. 1991. Vol. 55, N 3. P. 163-167.
- [7] Testa C., Desideri D., Mell M. et al. // J. Radioanal. Nucl. Chem. 1993. Vol. 170, N 1. P. 117-124.
- [8] Blair A. J. H., Ihle H., Michael H. // Radiochim. Acta. 1968. Vol. 10, N 3/4. P. 119-121.
- [9] Павловская Н. А., Мальцева М. М., Перетт О. Ю. и др. // Радиохимия. 1981. Т. 23, N 4. С. 598-602.
- [10] Guseva L. I. // J. Radioanal. Nucl. Chem. Articles. 1990. Vol. 143, N 2. P. 329-335.
- [11] Гусева Л. И., Тихомирова Г. С. // Радиохимия. 1994. Т. 36, N 1. С. 51-56.
- [12] Beyer G. H., Herrmann E., Molnar E. et al. // Radiochem. Radioanal. Lett. 1972. Vol. 12, N 4. P. 259-269.
- [13] Fritz J. S., Waki H. // Anal. Chem. 1963. Vol. 35, N 8. P. 1079-1083.
- [14] Fritz J. S., Waki H., Garralda B. B. // Anal. Chem. 1964. Vol. 36, N 4. P. 900-903.
- [15] Карапова З. К., Родионова Л. М., Пыжкова З. И., Мясоецов Б. Ф. // ЖАХ. 1975. Т. 30. С. 2138-2143.
- [16] Guseva L. I., Tikhomirova G. S., Stepushkina V. V. // J. Radioanal. Nucl. Chem. Articles. 1985. Vol. 90, N 1. P. 13-22.